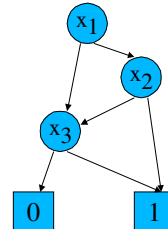


Binary Decision Diagrams



Binary Decision Diagrams

- Anwendungen in der kombinatorischen und sequentiellen Verifikation
- bieten eine kanonische Darstellung
 - Konstruktion des BDDs für Spezifikation und für Implementierung
 - Vergleich der BDDs in linearer (konstanter) Zeit
- bieten effiziente Algorithmen zur Manipulation
 - Boolesche Operationen, Quantifizierung, etc.

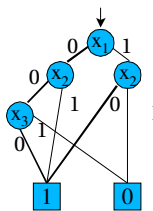
In diesem Kapitel...

- Definition von BDDs
- Algorithmen auf BDDs
 - Konjunktion, etc.
 - Symbolische Simulation
 - Implementierung von BDDs
- Optimieren der Variablenordnung
 - verschiedene Verfahren
- Verallgemeinerungen
 - KFDDs, WLDDs, LTBDDs

Frei verfügbare BDD-Packages

- CUDD-Package: Fabio Somenzi
<http://vlsi.colorado.edu/~fabio>
University of Colorado at Boulder.
- CAL-Package: R.K. Ranjan and J. Sanghavi
http://www-cad.eecs.berkeley.edu/Research/cal_bdd/
University of California, Berkeley.

Beispiel



beschreibt die Boolesche Funktion

$$f(x_1, x_2, x_3) = x_1' x_2' x_3' + x_1' x_2 + x_1 x_2'.$$

BDDs beruhen auf der Shannon-Expansion:

$$f(x_1, \dots, x_i, \dots, x_n) = x_i' f_{x_i=0}(x_1, \dots, x_n) + x_i f_{x_i=1}(x_1, \dots, x_n).$$

Definition von BDDs: Syntax

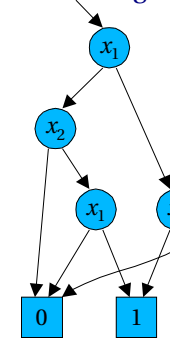
- Ein *binäres Entscheidungsdiagramm* (engl. Binary Decision Diagram, BDD) über einer Variablenmenge $X_n = \{x_1, \dots, x_n\}$ ist ein gerichteter, azyklischer Graph $G = (V, E)$ mit Wurzel $v \in V$, wobei
 - Genauso eine **Wurzel** und mindestens eine **Senke** hat
 - V aus **terminalen** und **nichtterminalen** Knoten besteht
 - jeder nichtterminale Knoten $v \in V$ mit einer **Variablen index**(v) $\in X_n$ markiert ist und zwei direkte Nachfolger $low(v) \in V$ und $high(v) \in V$ hat;
 - jeder terminale Knoten $t \in V$ einen **Booleschen Wert** $index(t) \in \{0, 1\}$ als Marke hat und Senke ist.

Definition von BDDs: Semantik

- Ist B ein BDD über X_n , v ein Knoten von B , so ist die Boolesche Funktion $f_v: X_n \rightarrow \{0, 1\}$, die durch v dargestellt wird, folgendermaßen definiert:
 - Ist v terminaler Knoten, so ist f_v die konstante Boolesche Funktion $index(v)$.
 - Ist v ein nichtterminaler Knoten mit $index(v)=x$, so ist f_v gleich $f_v = x' f_{low}(v) + x \times f_{high}(v)$.
- Ist **w die Wurzel von B**, so ist die Funktion $f_B: X_n \rightarrow \{0, 1\}$, die durch B dargestellt wird, gleich f_w .

Beispiel

- Welche Funktion ist dargestellt?



Schwierigkeiten bei BDDs

- Allgemeine BDDs gemäß der obigen Definition liefern keine kanonische Darstellung Boolescher Funktionen.
- Es ist unklar wie Operationen (*and, or, not, ...*) auf Booleschen Funktionen bei allgemeinen BDDs effizient realisiert werden können.
- Deshalb:
Verwendung von **Einschränkungen**:
 - **Reduzierte geordnete Decision Diagrams (ROBDDs)**

Einschränkungen an BDDs

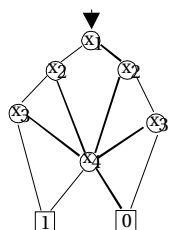
Definition [freie DD, FBDD]:

Ein BDD heißt **frei**, wenn auf jedem Pfad von der Wurzel zu einem terminalen Knoten jede Variable höchstens einmal als Markierung vorkommt.

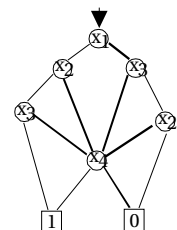
Definition [ordered BDD, OBDD]

Ein FBDD über $\{x_1, \dots, x_n\}$ heißt **geordnet**, wenn es eine bijektive Abbildung $\pi: \{1, \dots, n\} \rightarrow \{x_1, \dots, x_n\}$ gibt, so dass für jede Kante (v, w) mit w nichtterminal die Ungleichung $\pi^{-1}(\text{index}(w)) > \pi^{-1}(\text{index}(v))$ gilt,
d.h. π gibt die Reihenfolge an, in der die Variablen auf jedem Pfad von der Wurzel zu einem Blatt abgefragt werden.

Beispiele für geordnete und nicht geordnete BDDs



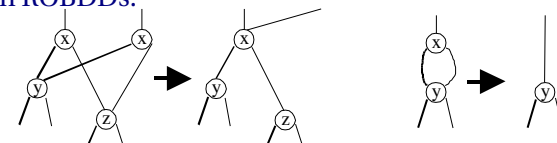
geordnet mit $\pi = (x_1, x_2, x_3, x_4)$



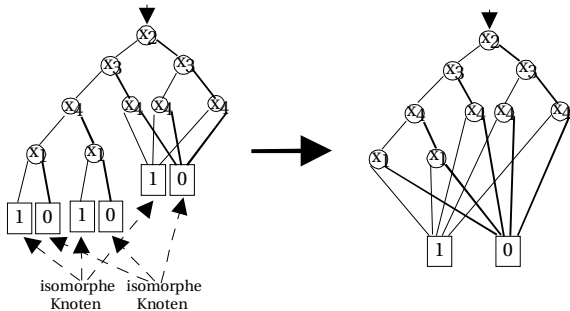
nicht geordnet, da auf einem Pfad x_2 vor x_3 und auf einem anderen Pfad x_2 nach x_3 steht

Reduzierte OBDDs (ROBDDs)

- Ein OBDD ist reduziert, wenn es
 - keine verschiedenen Knoten v und w gibt, die Wurzeln von isomorphen BDDs sind.
 - keinen nichtterminalen Knoten v mit $\text{low}(v) = \text{high}(v)$ gibt.
- Reduktionsregeln zur Transformation von OBDDs in ROBDDs:

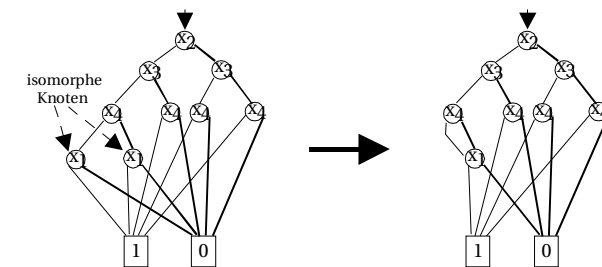


Reduzieren von OBDDs (1)

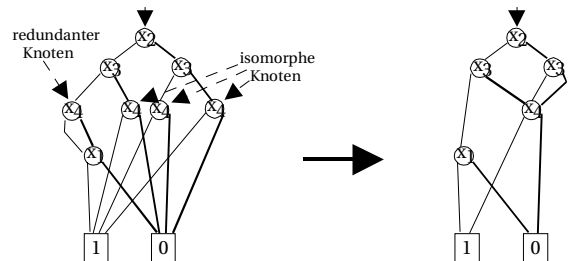


OBDDs können schichtweise (bottom up)
reduziert werden

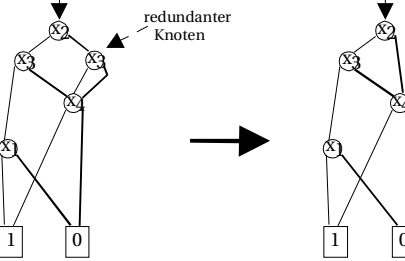
Reduzieren von OBDDs (2)



Reduzieren von OBDDs (3)



Reduzieren von OBDDs (4)



Anmerkung: Gängige Implementierungen von ROBDD-Paketen haben keine eigene Operation zum Reduzieren, sondern garantieren zu jedem Zeitpunkt, dass im gesamten System (evtl. aus mehreren ROBDDs bestehend) *nie* zwei identische Sub-Funktionen durch verschiedene ROBDD-Knoten repräsentiert werden

Kanonizität von ROBDDs

Satz (Bryant, 1986):

Sei π eine feste Variablenordnung.
Dann gibt es zu jeder Booleschen Funktion f (bis auf Isomorphie) genau einen ROBDD mit Variablenordnung π , der f beschreibt.

- Wesentliche Eigenschaft für die Verifikation:
Sowohl für Spezifikation als auch für Implementierung werden die ROBDDs der entsprechenden Booleschen Funktionen (mit der selben Variablenordnung) berechnet.
- Äquivalenztest reduziert sich auf den Test, ob die entsprechenden ROBDDs isomorph sind.

Kanonizität von ROBDDs (2)

Beweis: Induktion nach Zahl n der Variablen, von denen abhängt

Induktionsanfang: $n=0 \Rightarrow f$ ist konstant. O.B.d.A. sei $f=0$.
Sei B ein ROBDD, der f repräsentiert und $k \geq 0$ innere Knoten hat.

Da $f_B = 0$, führt jeder Pfad von der Wurzel zu Terminal 0, d.h. Terminal 1 kommt in B nicht vor.

Wegen Reduziertheit gibt es *genau ein* 0-Terminal.

Annahme: $k \geq 1$.

Da B endlich und azyklisch ist, gibt es dann einen inneren Knoten, dessen beide Nachfolger Blätter, also Terminal 0 sind.
 \Rightarrow Widerspruch dazu, dass B reduziert ist!

Kanonizität von ROBDDs (3)

...

Induktionsvoraussetzung: Es gibt zu jeder Funktion mit $< n$ Variablen (bis auf Isomorphie) genau einen ROBDD.

Induktionsschritt: Annahme: Zur Funktion f (mit n Variablen) gebe es 2 verschiedene, nicht isomorphe ROBDDs B_1 und B_2 mit Wurzeln w_1 und w_2 und $f_{B_1} = f_{B_2} = f$.

Sei w_1 mit x_i beschriftet und w_2 mit x_j beschriftet.

Fallunterscheidung $x_i \neq x_j$ und $x_i = x_j$:

Kanonizität von ROBDDs (4)

...

Fall 1: $x_i \neq x_j$. O.B.d.A. sei $\pi^{-1}(x_i) < \pi^{-1}(x_j)$.

$\Rightarrow f_{B_2}$ ist unabhängig von $x_i \Rightarrow f = f_{B_2}$ ist unabhängig von x_i

Nach Def. gilt $f = f_{B_1} = x_i' f_{low}(w_1) + x_i f_{high}(w_1)$ und somit $f_{xi}' = f_{low}(w_1)$ und $f_{xi} = f_{high}(w_1)$.

Da f unabhängig von x_p gilt $f_{xi}' = f_{xi}$ und $f_{low}(w_1) = f_{high}(w_1)$

Nach Ind.vor. gibt es dazu (bis auf Isomorphie) genau einen ROBDD.

Wegen Reduziertheit von B_1 ist deshalb $low(w_1) = high(w_1)$ und somit ist w_1 ein redundanter Knoten. Widerspruch.

Kanonizität von ROBDDs (5)

...

Fall 2: $x_i = x_j$. D.h. $w1$ und $w2$ sind mit x_i beschriftet.

Analog zu obiger Argumentation:

$f_{low}(w1) = f_{x'_i} = f_{low}(w2)$ und $f_{high}(w1) = f_{xi} = f_{high}(w2)$,
da $f = f_{B1} = f_{B2}$.

Damit nach Ind.vor.:

die ROBDDs mit Wurzeln $low(w1)$ und $low(w2)$ sind

die ROBDDs mit Wurzeln $high(w1)$ und $high(w2)$ sind
isomorph.
⇒ $B1$ und $B2$ sind isomorph.

Q.E.D. □

Konstruktion von BDDs

- Bemerkung:** alle Booleschen Operatoren lassen sich durch den tenären Operator $\text{ITE}(F, G, H) = F \cdot G + F' \cdot H$ zurückführen.

- Beispiel:**
 $\text{AND}(F, G) = \text{ITE}(F, G, 0)$,
 $\text{NOT}(F) = \text{ITE}(F, 0, 1)$.

- $\text{ITE}(F, G, H) = F \cdot G + F' \cdot H$
 $= x \cdot (F \cdot G + F' \cdot H)_x + x' \cdot (F \cdot G + F' \cdot H)_{x'}$
 $= x \cdot (F_x \cdot G_x + (F_x)' \cdot H_x) + x' \cdot ((F_{x'}) \cdot G_{x'} + (F_{x'})' \cdot H_{x'})$
 $= x \cdot \text{ITE}(F_x, G_x, H_x) + x' \cdot \text{ITE}(F_{x'}, G_{x'}, H_{x'})$

- Im Folgenden:
 - alle BDDs sind geordnet und reduziert
 - Variablenmenge ist X_n
- Annahme:
Wir haben Funktionen f und g als BDD gegeben.
- Frage:
Wie kann man damit rechnen, d.h. wie ist der BDD für
 $f \cdot g, f + g, f \oplus g$, etc.?

Basisalgorithmus für ITE (1)

- $\text{ITE}(F, G, H) = x' \cdot \text{ITE}(F_x, G_x, H_x) + x \cdot \text{ITE}(F_x, G_x, H_x)$
- Berechne rekursiv ROBDDs für $\text{ITE}(F_x, G_x, H_x)$ und $\text{ITE}(F_x, G_x, H_x)$.
- Falls $\text{ITE}(F_x, G_x, H_x) = \text{ITE}(F_x, G_x, H_x)$, so ist $\text{ITE}(F, G, H) = \text{ITE}(F_x, G_x, H_x) = \text{ITE}(F_x, G_x, H_x)$.
- Ansonsten: Generiere einen neuen Knoten v mit $\text{index}(v)=x$, dessen low -Kante auf $\text{ITE}(F_x, G_x, H_x)$ zeigt und dessen $high$ -Kante auf $\text{ITE}(F_x, G_x, H_x)$ zeigt, (falls ein solcher Knoten nicht schon existiert).

Basisalgorithmus für ITE (2)

```
node* ITE(node* F, node* G, node* H) {
    /* Terminalfälle */
    if (F == 1 || G == H) return G;
    if (F == 0) return H;
    /* Rekursive Aufrufe */
    x = top_variable_of(F, G, H);
    low = ITE(Fx, Gx, Hx);
    high = ITE(Fx, Gx, Hx);
    if (low == high) return low;
    R = unique_table_find_or_add(x, low, high);
    return R;
}
```

Die 3 Operatoren müssen die gleiche Variablenordnung haben

Exponentielle Laufzeit in der Anzahl der Variablen (zwei rekursive Aufrufe!)

Laufzeit des ITE-Operators

- Sei $|F|$ die Zahl der Knoten im BDD für F.
- **Lemma:**
Die Laufzeit von $\text{ITE}(F, G, H)$ ist in $O(|F| |G| |H|)$.
- **Korollar:**
Die Laufzeit des logischen $\text{AND}(F, G)$ ist in $O(|F| |G|)$.

Beschleunigung durch Cache

```
node* ITE(node* F, node* G, node* H) {
    /* Terminalfälle */
    if (computed_table_has_entry(F, G, H))
        return result;
    R = /* Berechne Ergebnis */;
    computed_table_insert(F, G, H, R);
    return R;
}
```

In der „computed table“ werden alle Resultate der bisherigen ITE-Operationen gespeichert
 \Rightarrow
Anzahl der Aufrufe von ITE beschränkt durch die Anzahl der möglichen Tripel (F, G, H)

Unique Table

- Knoten eines BDDs werden in einer Hashtabelle gespeichert
 - Schlüssel: Index und ausgehende Kanten (Zeiger)
 - Vor dem Anlegen eines neuen Knoten wird nachgesehen, ob es schon einen mit gleicher Funktion gibt.
 - Dadurch wird Kanonizität gewährleistet
- Üblicherweise werden für jeden Index (für jedes Level) separate Hashtabellen verwendet

Computed Table

- Cache für Operationen, um zu verhindern, dass die gleiche Operation mehrfach berechnet werden muss
- Es ist nicht sinnvoll, *alle* Ergebnisse zu speichern (Speicherbedarf)
- Üblicherweise ist die Größe der Computed Table (ziemlich) fest gewählt
- Hashing mit Verlust*: Soll ein Eintrag neu eingefügt werden und ist die entsprechende Hash-Adresse schon belegt, so wird der alte Eintrag überschrieben.

Implementierung

- Struktur für Knoten:

```
struct node {
    variable   var; // Variable
    int        ref; // Referenzzähler
    struct node *low, *high; // Kanten
    struct node *next; // für Unique Table
};
```

- ref*: Zahl der eingehenden Kanten

Komplementkanten

- Jeder Kante bekommt ein **zusätzliches Bit**
 - Das unterste Bit der Zeiger kann verwendet werden, da bei üblichen Rechnerarchitekturen nur gerade Speicheradressen verwendet werden
- Ist das Bit gesetzt, so ist die dargestellte Funktion zu invertieren
- Es genügt ein Terminalknoten

Kanonizität bei Komplementkanten

- Die Darstellung mit Komplementkanten ist (zunächst) nicht kanonisch.
- Die Kanonizität kann wiederhergestellt werden durch die Einschränkung, dass *low*-Kanten **nicht komplementiert** sein dürfen



$$\overline{x_i} f_{x_i=0} + x_i f_{x_i=1} = \overline{\overline{x_i} f_{x_i=0}} + x_i \overline{f_{x_i=1}}$$

Kofaktor-Berechnung

- Berechnung von $f_{x_i=0} = f(\dots, x_{i-1}, 0, x_{i+1}, \dots)$
- Verwendung einer Computed Table
- Kofaktor nach x_i eines Knotens v ist
 - die *low*-Kante, wenn der Knoten mit x_i markiert ist,
 - der Knoten $(\text{index}(v), (f_{\text{low}})_{x_i=0}, (f_{\text{high}})_{x_i=0})$, sonst

```

node* cofactor(node* f, variable v) {
    /* Terminalfälle */
    if (f konstant) return f;
    x := index(f);
    if (level(x) > level(v)) return f; // f hängt nicht von v ab
    /* Überprüfen der Computed Table */
    if (computed table has entry (f, v, result)) return result;
    if (x == v)    result = f_low;
    else { res0 = cofactor(f_low, v);
            res1 = cofactor(f_high, v);
            result = unique_find_or_add(x, res0, res1);
    }
    insert (f, v, result) into computed_table;
    return result;
}

```

Überblick über Operationen

Operation	Komplexität
Auswertung	$O(n)$
Erfüllbarkeit	$O(1)$
Äquivalenz	$O(1)$
Negation*	$O(1)$
AND/OR/XOR	$O(F G)$
Kofaktor	$O(F)$
Quantifizierung	$O(F ^2)$

* mit Komplementkanten, sonst $O(|F|)$

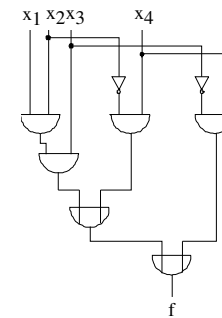
Symbolische Simulation (1)

- Gegeben: Kombinatorische Schaltung
- Gesucht: BDD für die Boolesche Funktion, die die Schaltung realisiert
- Anwendungen:
 - Äquivalenzvergleich
 - ★ Wenn ich für zwei Schaltungen den BDD konstruiert habe, kann ich in konstanter Zeit sagen, ob sie die gleiche Funktion berechnen
 - ... und viele andere

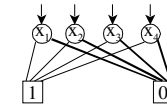
Symbolische Simulation (2)

- Beginne bei den Eingängen, erzeuge für jeden Eingang den BDD für die entsprechende Eingangsvariable.
- Durchlaufe die Schaltung in *topologischer Reihenfolge* und berechne mit Operationen die BDDs für die an den einzelnen Gattern berechneten Funktionen.
- Resultat: BDD der realisierten Booleschen Funktion
- Symbolische Simulation* (im Gegensatz zur Simulation einzelner Eingangsbelegungen)

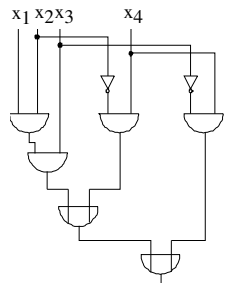
Symbolische Simulation (3)



- Generiere BDDs für die Variablen x_1, \dots, x_4 : $bdd_{x1}, \dots, bdd_{x4}$



Symbolische Simulation (4)



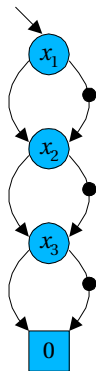
- $bdd_{12} := \text{AND}(bdd_{x1}, bdd_{x2})$
- $bdd_{123} := \text{AND}(bdd_{12}, bdd_{x3})$
- $bdd_{2'} := \text{NOT}(bdd_{x2})$
- $bdd_{2'4} := \text{AND}(bdd_{2'}, bdd_{x4})$
- $bdd_{123+2'4} := \text{OR}(bdd_{123}, bdd_{2'4})$
- $bdd_{3'} := \text{NOT}(bdd_{x3})$
- $bdd_{3'4} := \text{AND}(bdd_{3'}, bdd_{x4})$
- $bdd_f := \text{AND}(bdd_{123+2'4}, bdd_{3'4})$

Die Größe des BDDs

- Die Größe des BDDs einer Funktion hängt von der Funktion ab
 - Es gibt Funktionen, für die der BDD lineare Größe hat
 - Beispiel: Die XOR-Funktion
 - Es gibt Funktionen, für die der BDD exponentiell groß ist
 - Beispiel: Die Multipliziererfunktion
 - „Fast alle“ BDDs haben exponentielle Größe
 - Folgt aus Satz von Shannon (Fast alle Booleschen Funktionen haben eine Komplexität (= Anzahl von 2-Input-Gattern in optimaler Realisierung) $> 2^n/n$) und der Tatsache, dass man BDDs als Multiplexerschaltkreise interpretieren kann

Die XOR-Funktion

- $f(x_1, x_2, x_3) = x_1 \oplus x_2 \oplus x_3$



Hidden Weighted Bit-Funktion

- Betrachte $hw_{n,s}(x_1, \dots, x_n) = \begin{cases} 0 & s=0 \\ x_s & s>0 \end{cases}$

mit

$$s = \sum_{i=1}^n x_i \in \mathbb{N}_0$$

- Wie groß ist der BDD dafür unter der besten Variablenordnung?

Definition: Transfermenge

- Sei σ eine **Belegung** der Variablen aus $X_n := \{x_1 \dots x_n\}$ und $I \subseteq X_n$.
- σ lässt sich aufteilen in eine Belegung σ_I der Variablen in I und in eine Belegung $\sigma_{X_n \setminus I}$ der anderen Variablen.
- Eine Menge $F(I)$ von Belegungen der Variablen aus I heißt **Transfermenge** (*fooling set*) für eine Boolesche Funktion f , wenn es für $\sigma_p, \sigma_I' \in F(I)$ mit $\sigma_I \neq \sigma_I'$ eine Belegung σ_J der Variablen aus $\sigma_{X_n \setminus I}$ gibt, so dass $f(\sigma_p, \sigma_J) \neq f(\sigma_I', \sigma_J)$.

Definition: Balancierte Partition

- Sei $\omega \in (0, 1)$.
- Sei (L, R) eine Partitionierung von X_n , d.h. $L \cup R = X_n$ und $L \cap R = \emptyset$.
- Die Partition ist **balanciert**, wenn $|\omega \cdot |X_n|| \leq |L| \leq |\omega \cdot |X_n||$.
- Man kann sich auch auf eine Menge $Y \subseteq X_n$ von *Schlüsselvariablen* beschränken. Dazu muss man in obiger Definition $|X_n|$ durch Y ersetzen.

Untere Schranke für die Größe

Satz (Bryant, 1991):

Sei $f : \mathcal{B}^n \rightarrow \mathcal{B}$ und $\omega \in (0, 1)$.

Gibt es für jede balancierte Partition (L, R) bezüglich ω eine *Transfermenge* $F(L)$ der Größe c , so hat jede BDD-Präsentation von f mindestens $c \cdot 2$ Knoten.

- Sind die Variablen L im oberen Teil des BDDs, muss jede Belegung von $F(L)$ zu einem neuen BDD-Knoten zeigen.
- Für jede Variablenordnung gibt es eine balancierte Partition (L, R) bezüglich
- Beweis: Drechsler, Becker, Graph. Funktionsdarstellung.

Untere Schranke für HWB_n

Satz (Bryant, 1991):

Ein BDD für HWB_n benötigt $\Omega(2^{n/10})$ Knoten.

Beweis:

Sei n ein Vielfaches von 10 (o. B. d. A.).

Sei (L, R) eine balancierte Partition bzgl. $\omega = 0,6$.

Zu zeigen: \exists Transfermenge $F(L)$ der Größe $\Omega(2^{(0,1 \cdot n)})$.

Seien X_H und X_L Teilmengen von X_n mit

$$X_H = \{x_{0,9n}, \dots, x_{0,5n+1}\} \quad X_L = \{x_{0,5n}, \dots, x_{0,1n+1}\}$$

Da $|L| = 0,6 n$ und $|X_H| + |X_L| = 0,8 n$, muss entweder

$|X_H \cap L| \geq 0,2 n$ oder $|X_L \cap L| \geq 0,2 n$ sein.

Es gibt ein W mit $|W| = 0,2 n$ und $W \subseteq X_H \cap L$ oder $W \subseteq X_L \cap L$.

Untere Schranke für HWB_n (2)

Fall 1: $W \subseteq X_H \cap L$.

$F(L)$ wird so definiert, dass

$\sigma \in F(L) \Leftrightarrow \sigma$ setzt die Hälfte der Variablen in W und alle Variablen aus $L - W$ auf 1.

In L sind dann genau $0,5 n$ Variablen mit Wert 1.

$F(L)$ ist Transfermenge: Seien $\sigma_1, \sigma_2 \in F(L)$, $\sigma_1 \neq \sigma_2$.

Aus Def. von $F(L)$ folgt: $\exists x_i \in W: \sigma_1(x_i) \neq \sigma_2(x_i)$.

Wegen $W \subseteq X_H$ ist $0,5n < i \leq 0,9n$.

Sei σ_R eine Belegung der Variablen aus R , die $(i - 0,5n)$ Variablen auf 1 setzt.

Da $0,5n$ Variablen aus L mit 1 belegt sind, gilt

$$HWB_n(\sigma_1 \circ \sigma_R) = \sigma_1(x_i) \neq \sigma_2(x_i) = HWB_n(\sigma_2 \circ \sigma_R).$$

Die Größe von $F(L)$ ist $\binom{0,2n}{0,1n} = \Omega(2^{\frac{n}{10}})$

Untere Schranke für HWB_n (3)

Fall 2: $W \subseteq X_L \cap L$.

$F(L)$ wird so definiert, dass

$\sigma \in F(L) \Leftrightarrow \sigma$ setzt die Hälfte der Variablen in W und alle Variablen aus $L - W$ auf 0.

In L sind dann genau $0,1 n$ Variablen mit Wert 1.

$F(L)$ ist Transfermenge: Seien $\sigma_1, \sigma_2 \in F(L)$, $\sigma_1 \neq \sigma_2$.

Aus Def. von $F(L)$ folgt: $\exists x_i \in W: \sigma_1(x_i) \neq \sigma_2(x_i)$.

Wegen $W \subseteq X_L$ ist $0,1n < i \leq 0,5n$.

Sei σ_R eine Belegung der Variablen aus R , die $(i - 0,1n)$ Variablen auf 1 setzt.

Da $0,1n$ Variablen aus L mit 1 belegt sind, gilt

$$HWB_n(\sigma_1 \circ \sigma_R) = \sigma_1(x_i) \neq \sigma_2(x_i) = HWB_n(\sigma_2 \circ \sigma_R).$$

Die Größe von $F(L)$ ist $\binom{0,2n}{0,1n} = \Omega(2^{\frac{n}{10}})$

□

Exponentielle Größe

- Mit der gleichen Beweistechnik lässt sich beweisen, dass die Multipliziererfunktion

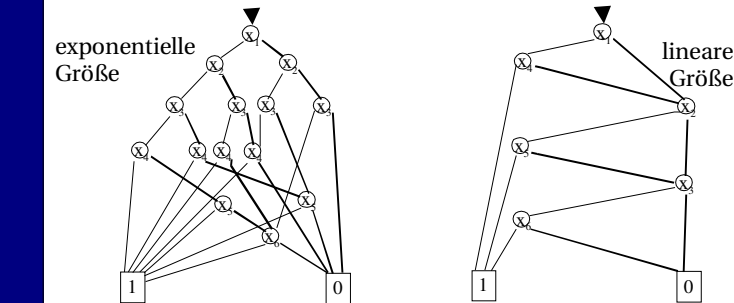
$$f(x_1, \dots, x_n, y_1, \dots, y_n) = \text{bin}\left(\left(\sum_{i=1}^n x_i 2^{i-1}\right) * \left(\sum_{i=1}^n y_i 2^{i-1}\right)\right)$$

exponentiell groß ist.

- Genauer: Um das $(n-1)$ -te Ergebnisbit darzustellen, werden $\Omega(2^{\frac{n}{8}})$ Knoten benötigt.
- Im Gegensatz zur HWB hat diese eine hohe *praktische Relevanz!*

Einfluss der Variablenordnung

- Die Größe einer BDD kann stark von der verwendeten Variablenordnung abhängen
Beispiel: $f(x_1, \dots, x_{2n}) = x_1 x_{n+1} + x_2 x_{n+2} + \dots + x_n x_{2n}$



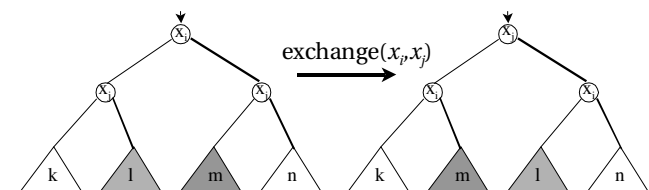
Verbessern der Variablenordnung

Satz (Bollig, Savicky, Wegener, 1994):
Das Problem, zu einem gegebenen BDD mit Variablenordnung π eine Variablenordnung π' zu finden, bei der die BDD-Größe minimal ist, ist NP-vollständig.

- Man unterscheidet
 - exakte Verfahren
 - initiale Verfahren (Ordnung wird aus Darstellung des Schaltkreises bestimmt)
 - dynamische Verfahren (Ordnung wird während der Berechnung verbessert)

Vertauschen benachbarter Variablen

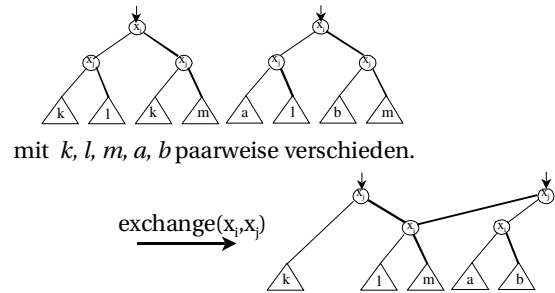
- Basisoperation für viele Verfahren, die mit einem BDD starten.



- Variabletausch ist eine lokale Operation und betrifft nur die Knoten, die mit den beiden Variablen beschriftet sind.

Vertauschen benachbarter Variablen (2)

- Die Größe kann sich verändern



Exaktes Minimieren

- Es gibt Anwendungen, bei denen eine geringe Größe des BDDs sehr wichtig ist
 - Logik-Synthese:
Der BDD wird direkt auf einen Multiplexer-Schaltkreis abgebildet
 - Evaluierung von Heuristiken
- Trivialer Ansatz:
Konstruiere den BDD für alle $n!$ Ordnungen

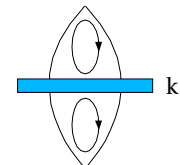
Vertauschen benachbarter Variablen (3)

- Es brauchen nur die Knoten der beiden betroffenen Variablen betrachtet werden
- Aber:** Knoten sind in einer Hashtabelle (Unique Table) gespeichert
- Deshalb:** Für jede Variable wird eine separate Unique Table verwendet
 - Bei n Variablen sind es nun n Unique Tables
 - Schlüssel der Hashtabelle braucht die Variable nicht mehr zu enthalten
 - Größen der Hashtabellen müssen dynamisch sein

Exaktes Minimieren (2)

Satz (Friedman, Supowit, 1987):
Sei $f: B^n \rightarrow B$, $I \subseteq X_n$, $k = |I|$ und $x_i \in I$.
Dann gibt es $c \geq 0$, so dass $\#\text{nodes}_{x_i}(f, \pi) = c$
für jedes $\pi \in \Pi(I)$ mit $\pi(k) = x_i$,
wobei $\Pi(I) = \{\pi : \pi(x_j) \in I \quad \forall x_j \in I\}$.

- Knoten in Level k bleiben unverändert bei Änderungen im oberen / unteren Bereich
- Folgt aus Lokalität des Tausches benachbarter Variablen



Exaktes Minimieren (3)

- Dynamische Programmierung
- Der BDD wird von oben her aufgebaut
- Sei $I \subseteq X_n$ mit $|I| = k$.
 - Angenommen, die optimale Ordnung sei für alle $I' \subset I$ mit $|I'| = k-1$ bekannt.
 - Dann kann die optimale Ordnung für I berechnet werden, indem für alle $x_i \in I$
 - ★ die Variablen aus $I \setminus \{x_i\}$ in die oberen Level gebracht werden
 - ★ Variable x_i nach Level k gebracht wird

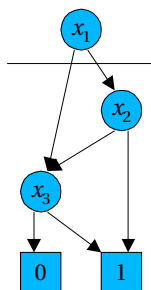
```

compute_optimal_ordering(BDD f)
  insert ( $I = \emptyset$ ,  $\min\_cost_{\emptyset} = 0$ ,  $\pi_{\emptyset} = \text{current order}$ ) into table;
  for ( $k = 1$ ;  $k \leq n$ ;  $k++$ ) { //  $k$ : current level
    next_table =  $\emptyset$ ;
    for each  $I \in \text{table}$  {
      set_permutation( $\pi_I$ );
      for each  $x_i \in X_n$  {
        shift  $x_i$  to level  $k$ ;
         $I' = I \cup \{x_i\}$ ;  $\pi = \text{current order}$ ;
        cost =  $\min\_cost_I + \#nodes_{x_i}(f, \pi)$ ;
        if ( $I' \notin \text{next\_table}$  or  $\text{cost} < \min\_cost_{I'}$ )
          store ( $I'$ ,  $\text{cost}$ ,  $\pi$ ) into next_table;
      }
    }
    table = next_table;
  }
  set_permutation(best  $\pi$ );
}

```

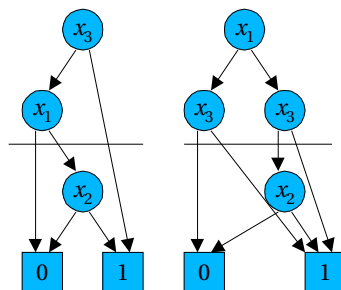
Beispiel: $f = x_1 x_2 + x_3$

- $\text{table} := \{ (I = \emptyset, \min_cost_{\emptyset} = 0, \pi_{\emptyset} = (x_1, x_2, x_3)) \};$
- $k := 1;$
- $\text{next_table} := \{ (\{x_1\}, 1, (x_1, x_2, x_3)), (\{x_2\}, 1, (x_2, x_1, x_3)), (\{x_3\}, 1, (x_3, x_2, x_1)) \};$



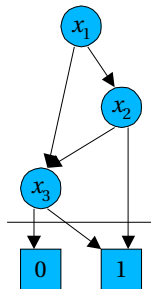
Beispiel: $f = x_1 x_2 + x_3$

- $\text{table} := \{ (\{x_1\}, 1, (x_1, x_2, x_3)), (\{x_2\}, 1, (x_2, x_1, x_3)), (\{x_3\}, 1, (x_3, x_2, x_1)) \};$
- $k := 2;$
- $\text{next_table} := \{ (\{x_1, x_2\}, 2, (x_1, x_2, x_3)), (\{x_1, x_3\}, 2, (x_3, x_1, x_2)), (\{x_2, x_3\}, 2, (x_3, x_2, x_1)) \};$



Beispiel: $f = x_1 x_2 + x_3$

- `table := {
 ({x1, x2}, 2, (x1, x2, x3)),
 ({x1, x3}, 2, (x3, x1, x2)),
 ({x2, x3}, 2, (x3, x2, x1))};`
- `k := 3;`
- `next_table := {
 ({x1, x2, x3}, 3, (x1, x2, x3))};`



Exaktes Minimieren (5)

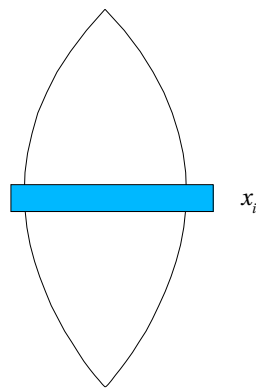
- Möglichkeiten der Verbesserung
 - Verwendung unterer Schranken
 - ★ etwa Bryant, 1991
 - Verwendung von Symmetrien
 - ★ Wenn $f(\dots x \dots y \dots) = f(\dots y \dots x \dots)$, dann kann o. B. d. A. angenommen werden, dass x vor y in der optimalen Ordnung steht.
- Für Funktionen mit bis zu ~25 Variablen anwendbar

Heuristische Verfahren

- Sifting (Rudell, 1993)
 - lower bound sifting (Drechsler, Günther, 1999)
- Group Sifting (Panda, Somenzi, 1995)
- Block-restricted Sifting (Meinel, Slobodová, 1997)
- Window Permutation
 - Anwendung des exakten Verfahrens auf „Fenster“ geringer Größe
 - Die „Fenster“ werden über den BDD verschoben
- Evolutionärer Algorithmus

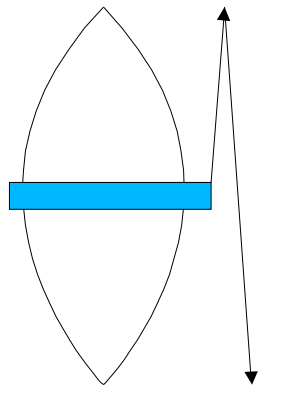
Sifting

- x_i := Variable des breitesten Levels



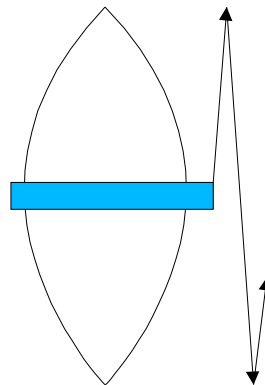
Sifting

- $x_i :=$ Variable des breitesten Levels
- Verschieben des Levels an alle Positionen



Sifting

- $x_i :=$ Variable des breitesten Levels
- Verschieben des Levels an alle Positionen
- Verschieben an die „beste“ Position
- Wiederhole dies für die restlichen Variablen



Sifting (2)

- Laufzeit: $O(n^2)$ Vertauschungen von Variablen
 - Bei Funktionen mit >100 Variablen zu viel
- Verbesserungen:
 - Verschieben zum näheren Ende zuerst
 - Eine Variable wird nicht weiter in eine Richtung bewegt, wenn eine Maximalgröße überschritten ist
 - ★ Beispiel: 1.2-faches der momentanen Größe
 - Verwendung unterer Schranken

Lower Bound Sifting

- SiftingDown($k : \text{level to sift}$)


```
lb = compute_lower_bound(k);
best = size_of_BDD();
while (k < n and lb ≤ best) {
    level_exchange(k, k+1);
    lb = compute_lower_bound(k);
    if (size_of_BDD() < best)
        best = size_of_BDD();
    k = k + 1;
}
```

Varianten von BDDs

- Bit-Ebene: $f: B^n \rightarrow B^m$
 - Andere Dekompositionstypen (FDDs, KFDDs)
 - Weniger restriktive Darstellungen (Freie BDDs, Read-k-times BDDs)
 - Transformationen (LTBDDs, ...)
 - Operationsknoten (Parity-BDDs, BEDs, ...)
- Wort-Ebene: $f: B^n \rightarrow Z^m$
 - MTBDDs, BMDs, *BMDs, K*BMDs, ...
 - Die Multiplikation kann mit *BMDs linearer Größe dargestellt werden

Functional DDs (FDDs)

- positive Davio-Dekomposition:

$$f(x_1, \dots, x_i, \dots, x_n) = f_{x_i=0} \oplus x_i (f_{x_i=0} \oplus f_{x_i=1})$$
- negative Davio-Dekomposition:

$$f(x_1, \dots, x_i, \dots, x_n) = f_{x_i=1} \oplus x_i' (f_{x_i=0} \oplus f_{x_i=1})$$
- Manipulation von FDDs
 - XOR-Operation bleibt polynomiell
 - AND, OR exponentiell im worst case
- Minimierung
 - Variablen tausch kann analog zu BDDs erfolgen
(\Rightarrow Übungsaufgabe)

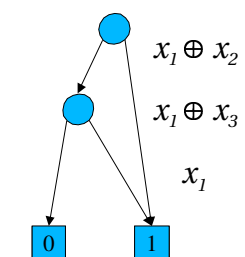
Kronecker Functional DDs (KFDDs)

- alle drei Dekompositionstypen
- Manipulation von KFDDs
 - wie bei FDDs
- Minimierung
 - Wahl der Variablenordnung und der Dekompositionstypen

Linear Transformierte BDDs

- Knoten haben statt *einer* Variablen die Parität einer Menge von Variablen
- Dies entspricht einer *linearen Transformation*

$$f'(x) = f(A(x))$$



Linear Transformierte BDDs (2)

- Kanonische Darstellung
 - Für eine feste Variablenordnung *und* Transformation
- Ein exponentieller Unterschied ist möglich
 - Es gibt eine Funktion, die mit einem LTBDD linearer Größe dargestellt werden kann, für die aber jeder BDD exponentiell groß ist.
- Verändern der Transformation ist effizient
 - Ersetzen von x durch $x \oplus y$ für in der Variablenordnung benachbarte Variablen ist lokale Operation

Linear Transformierte BDDs (3)

- Techniken zur Minimierung:
 - Linear Sifting (Meinel, Somenzi, Theobald, 1997)
 - ★ Erweiterung von Sifting um einen linearen Operator
 - ★ auch hier können untere Schranken verwendet werden
 - Exakte Minimierung
 - ★ Nur für sehr kleine Funktionen praktikabel
 - Window Optimization Algorithmus
 - Genetischer Algorithmus

Operatoren auf LTBDDs

- ITE-Operator kann wie für BDDs implementiert werden
 - $\text{ITE}(f \circ A, g \circ A, h \circ A) = \text{ITE}(f, g, h) \circ A$
- Es gibt effiziente Algorithmen für
 - Kofaktor-Berechnung
 - Quantifizierung
 - Erfüllbarkeitsprobleme

Word-Level DDs

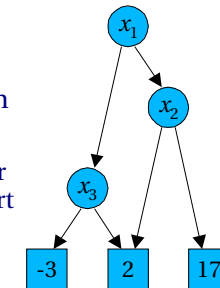
- Bit-level DDs können die **Multiplikation** nicht mit polynomieller Größe darstellen
 - Außer ...
- Arithmetische Schaltungen können auch durch **pseudo-Boolesche Funktionen** beschrieben werden
- Boolesche Werte werden mit 0, 1 identifiziert
 - Inverter: $f(x) = 1 - x$.

Dekompositionstypen für WLDDs

- Shannon: $(1 - x_i) f_{xi=0} + x_i f_{xi=1}$
- positiv Davio: $f_{xi=0} + x_i (f_{xi=1} - f_{xi=0})$
 - $f_{low} := f_{xi=0}$ heißt „konstanter Teil“
 - $f_{high} := f_{xi=1} - f_{xi=0}$ heißt „linearer Teil“
- negativ Davio: $f_{xi=1} + (1 - x_i) (f_{xi=0} - f_{xi=1})$

Multi-Terminal BDDs

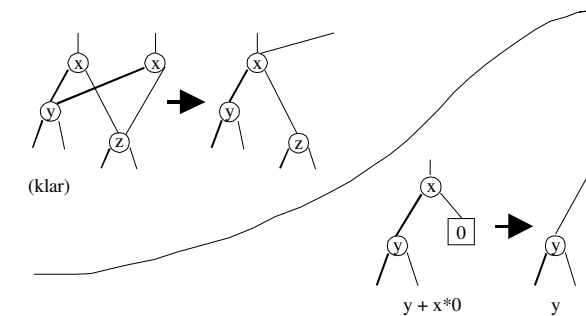
- Nur Shannon-Dekomposition
- Ganzzahlige Terminalknoten
- Kanonische Darstellung
- Minimierung und Manipulation ähnlich zu BDDs
- Terminalknoten können in einer weiteren Hashtabelle gespeichert werden



Binary Moment Diagrams

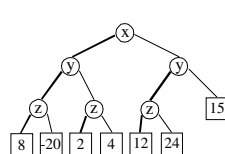
- Nur positiv Davio-Dekomposition
- Kanonische Darstellung
- Können **Multiplizierer** in quadratischer Größe darstellen

Reduktionsregeln für BMDs

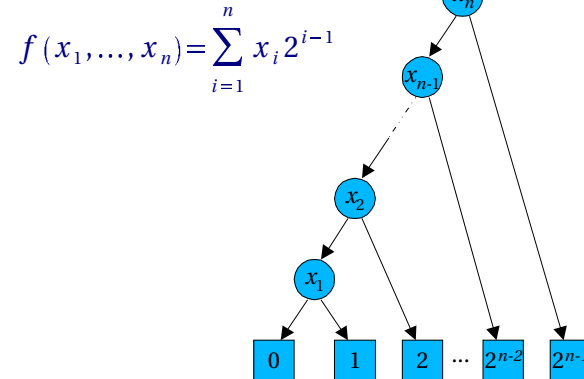


BMDs: Beispiel 1

- $f(x, y, z)$
 $= 8 - 20z + 2y + 4yz + 12x + 24xz + 15xy$
 $= (8 - 20z + 2y + 4yz) + x(12 + 24z + 15y)$
 $= ((8 - 20z) + y(2 + 4z)) + x((12 + 24z) + 15y)$

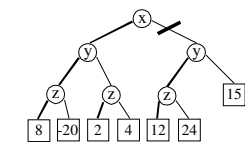


BMDs: Beispiel 2



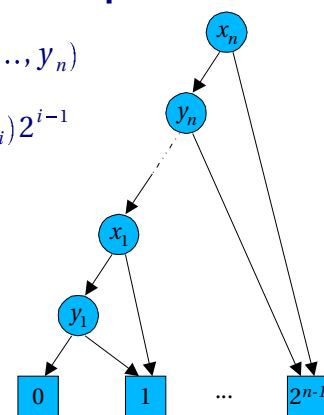
Auswertung von BMDs

- Summe aller *aktiven Pfade*
 - Eine Kante ist „aktiv“, falls es
 - eine *low*-Kante ist
 - eine *high*-Kante ist und die Belegung der Variablen wahr ist
 - Ein aktiver Pfad ist ein Pfad von der Wurzel zu einem terminalen Knoten, der nur aus aktiven Kanten besteht.
- Beispiel:
 $f(0, 1, 1)$
 $= 8 - 20 + 2 + 4$
 $= -6.$



BMDs: Beispiel 3

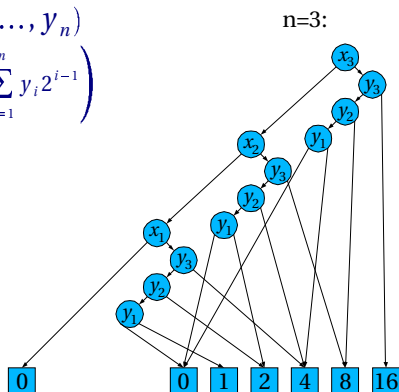
$$f(x_1, \dots, x_n, y_1, \dots, y_n) = \sum_{i=1}^n (x_i + y_i) 2^{i-1}$$



BMDs: Multiplizierer

$$f(x_1, \dots, x_n, y_1, \dots, y_n) = \left(\sum_{i=1}^n x_i 2^{i-1} \right) * \left(\sum_{i=1}^n y_i 2^{i-1} \right)$$

Die Multiplikation lässt sich durch einen BMD mit n^2 inneren Knoten darstellen.



BMDs: Addition

- Gegeben: BMDs für f und g .
Gesucht: BMD für $(f + g)$.
- $f + g = (f_{low} + x_i \cdot f_{high}) + (g_{low} + x_i \cdot g_{high})$
 $= (f_{low} + g_{low}) + x_i \cdot (f_{high} + g_{high})$

```
node* ADD(node* F, node* G) {
    check_terminal_cases
    x = top_variable_of(F, G);
    low = ADD(F_x, G_x);
    high = ADD(F_x, G_x);
    R = unique_table_find_or_add(x, low, high);
    return R;
}
```

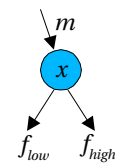
BMDs: Operationen

- Addition zweier BMDs F und G hat eine Laufzeit von $O(|F| |G|)$
 - wenn die Computed Table perfekt funktioniert
- Multiplikation zweier BMDs F und G kann exponentiellen Aufwand erfordern

Operation	BDD	BMD
Auswertung	$O(n)$	$O(F)$
Erfüllbarkeit	$O(1)$	$O(1)$
Äquivalenz	$O(1)$	$O(1)$
AND	$O(F G)$	exp.
ADD	--	$O(F G)$
MULT	--	exp.

Multiplicative Binary Moment Diagrams

- Bei *BMDs werden zusätzlich multiplikative Faktoren $\neq 0$ an den Kanten zugelassen.



Die eingehende Kante des Knotens repräsentiert die Funktion $m * (f_{low} + x * f_{high})$.

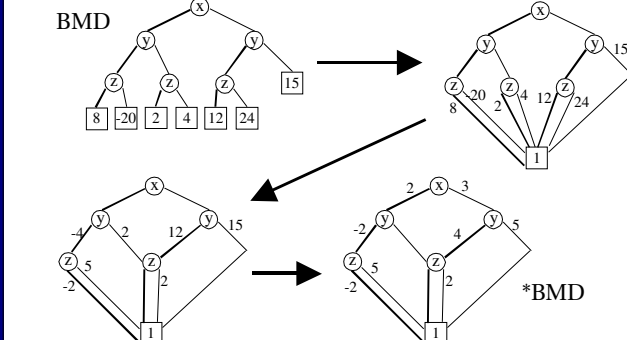
- Kanonizität?

Kanonizität von *BMDs

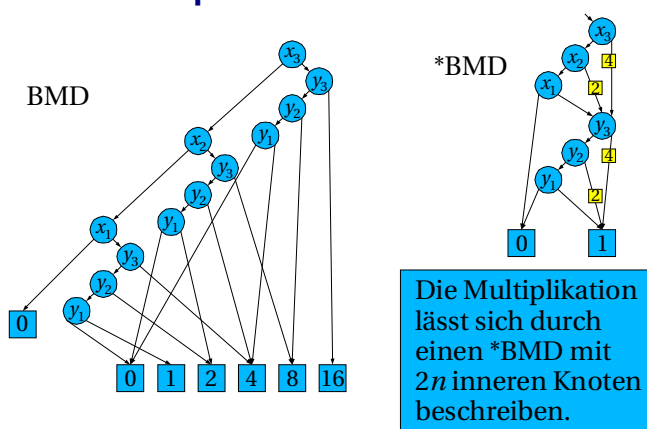
- *BMDs sind eine kanonische Darstellung, wenn
 - es als Terminalknoten höchstens 0 und 1 gibt,
 - alle multiplikativen Faktoren ungleich 0 sind,
 - der multiplikative Faktor von *high*-Kanten > 0 ist,
 - der größte gemeinsame Teiler der ausgehenden Kanten eines Knotens 1 ist.

*BMDs: Beispiel 1

$f = 8 - 20 z + 2 y + 4 yz + 12 x + 24 xz + 15 xy$



Multiplikation mit *BMDs

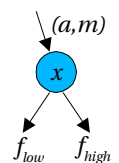


Verifikation mit *BMDs

- Vorteile:**
 - weiterhin kanonische Darstellung
 - lineare Größe für alle „wichtigen“ arithmetischen Schaltungen
 - Für Boolesche Funktionen verhalten sich *BMDs in der Praxis ähnlich wie BDDs
- Nachteile:**
 - Algorithmen zur Synthese können exponentiellen Aufwand haben
 - Multiplizierer kann nur auf Wort-Ebene dargestellt werden (Gruppierung der Ausgänge)

Kronecker Multiplicative BMDs

- Alle drei Dekompositionstypen
- Additive und multiplikative Kantengewichte



Die eingehende Kante des Knotens repräsentiert die Funktion
 $a + m * ((1-x) f_{low} + x * f_{high})$ (Shannon)
 $a + m * (f_{low} + x * f_{high})$ (pos. Davio)
 $a + m * (f_{low} + (1 - x) * f_{high})$ (neg. Davio)

Vergleich BDDs vs. BMDs (1)

- BDDs: reine Bit-Level-Datenstruktur
 - Schaltung muss auf Bit-Ebene gegeben sein.
 - Nur Boolesche Operationen können auf BDDs berechnet werden
- *BMDs: Word-Level-Datenstruktur
 - Schaltung kann auf Word-Level gegeben sein, Operationen auf ganzen Zahlen können verwendet werden
 - Additionen und Multiplikationen können direkt auf *BMDs durchgeführt werden.

Vergleich BDDs vs. BMDs (2)

- | | |
|---|---|
| • BDDs | • *BMDs |
| <ul style="list-style-type: none"> Multiplizierer benötigen exponentielle Größe Boolesche Operationen benötigen in polynomiale Zeit Vorwärtsaufbau Standard | <ul style="list-style-type: none"> Manchmal kann man exponentielle Blow-ups vermeiden. (Boolesche) Operationen benötigen exponentielle Zeit Rückwärtsaufbau haben sich (noch???) nicht durchgesetzt |